

Eyes : Normal Mixture Model

Le ZHANG & Shijie XU

26 mars 2025

1 Introduction

Cette étude analyse les données fournies par Bowmaker et al. (1985), qui concernent les longueurs d'onde de sensibilité maximale des photorécepteurs d'un singe. L'ensemble de données contient 48 observations, et l'objectif est de modéliser et d'estimer les moyennes des deux groupes, leur proportion et leur variance à l'aide d'un modèle de mélange normal (Normal Mixture Model).

2 Modèle et Méthodologie

Nous supposons que chaque observation y_i provient de l'une des deux distributions normales :

$$y_i \sim \mathcal{N}(\lambda_{T_i}, \tau)$$

où :

- $T_i \sim \text{Categorical}(P)$ représente le groupe auquel appartient chaque observation ($T_i = 1$ ou 2).
- La moyenne du premier groupe est λ_1 , et celle du deuxième groupe est définie comme $\lambda_2 = \lambda_1 + \theta$, $\theta > 0$.
- Les deux groupes partagent une même variance contrôlée par le paramètre de précision τ .

λ_1 , θ , τ , P sont dotés de prioris indépendants dits “non-informatifs”, y compris un priori uniforme pour P sur $(0, 1)$. Ainsi, nous adoptons les lois a priori suivantes :

$$\theta \sim \mathcal{N}(0, \sigma_\theta^2) \cdot \mathbb{I}_{[0, +\infty]}$$

$$\tau \sim \text{Gamma}(\alpha, \beta)$$

$$\lambda_1 \sim \mathcal{N}(0, \sigma_1^2)$$

$$P \sim \text{Dirichlet}(1, 1)$$

Voici les détails mathématiques de l'échantillonnage MCMC.

En introduisant les variables latentes T_i , la vraisemblance complète s'écrit :

$$\pi(\mathbf{y}, \mathbf{T} \mid \lambda_1, \theta, \tau, P) = \prod_{i=1}^N P_{T_i} \cdot \phi_{\tau}(y_i - \lambda_{T_i})$$

avec $\phi_{\tau}(y - \lambda)$ la densité d'une loi normale de précision τ :

$$\phi_{\tau}(y - \lambda) = \sqrt{\frac{\tau}{2\pi}} \exp\left(-\frac{\tau}{2}(y - \lambda)^2\right)$$

L'expression de la loi a posteriori jointe est :

$$\pi(\lambda_1, \theta, \tau, P, \mathbf{T} \mid \mathbf{y}) \propto \pi(\mathbf{y}, \mathbf{T} \mid \lambda_1, \theta, \tau, P) \cdot \pi(\lambda_1) \cdot \pi(\theta) \cdot \pi(\tau) \cdot \pi(P)$$

1. Mettre à jour T_i via une loi de Bernoulli :

$$\mathbb{P}(T_i = 1 \mid y_i, \lambda_1, \theta, \tau, P) = \frac{P_1 \cdot \phi_{\tau}(y_i - \lambda_1)}{P_1 \cdot \phi_{\tau}(y_i - \lambda_1) + P_2 \cdot \phi_{\tau}(y_i - (\lambda_1 + \theta))}$$

On tire alors T_i selon une loi de Bernoulli avec ce paramètre.

2. Mettre à jour P via une loi Beta : Une fois tous les T_i mis à jour, on compte le nombre d'observations par groupe :

$$n_1 = \sum_{i=1}^N 1(T_i = 1), \quad n_2 = N - n_1$$

Puis, la loi conditionnelle de P est :

$$P \sim \text{Dirichlet}(1 + n_1, 1 + n_2)$$

Soit :

$$P_1 \sim \text{Beta}(1 + n_1, 1 + n_2), \quad P_2 = 1 - P_1.$$

3. Mettre à jour (λ_1, θ) via Metropolis-Hastings : Puisque $\lambda_2 = \lambda_1 + \theta$ et que $\theta > 0$, il n'existe pas de mise à jour conjuguée. On utilise donc un échantillonnage Metropolis-Hastings sur (λ_1, θ) :

$$\pi(\lambda_1, \theta \mid T, y_i, \tau) \propto \pi(y_i \mid \lambda_1, \theta, \tau, T) \cdot \pi(\lambda_1) \cdot \pi(\theta)$$

$$\log \pi(\lambda_1, \theta \mid T, y_i, \tau) \propto \underbrace{\log \pi(\lambda_1) + \log \pi(\theta)}_{\text{petit terme}} + \log \pi(y_i \mid \lambda_1, \theta, \tau, T)$$

$$\propto \sum_{i:T_i=1} \left[-\frac{\tau}{2}(y_i - \lambda_1)^2 \right] + \sum_{i:T_i=2} \left[-\frac{\tau}{2}(y_i - (\lambda_1 + \theta))^2 \right]$$

On échantillonne (λ_1, θ) conjointement via Metropolis-Hastings, en imposant $\theta > 0$.

4. Mettre à jour τ via une loi Gamma :

$$\begin{aligned}\pi(\tau \mid \lambda, \theta, T, y) &\propto \pi(y \mid \tau, \lambda, \theta, T) \cdot \pi(\tau) \\ &\propto \prod_{i=1}^N \left[\tau^{\frac{1}{2}} \exp \left(-\frac{\tau}{2} (y_i - \lambda_{T_i})^2 \right) \right] \cdot \tau^{\alpha-1} e^{-\beta\tau} \\ &\propto \tau^{\alpha + \frac{N}{2} - 1} \exp \left[-\tau \left(\beta + \frac{1}{2} \sum_{i=1}^N (y_i - \lambda_{T_i})^2 \right) \right] \\ \tau &\sim \text{Gamma} \left(\alpha + \frac{N}{2}, \beta + \frac{1}{2} \sum_{i=1}^N (y_i - \lambda_{T_i})^2 \right)\end{aligned}$$

5. Mettre à jour σ via $\sigma = 1/\sqrt{\tau}$.

3 Résultats et Analyse

Les résultats numériques et les graphiques des chaînes simulées sont présentés en annexe.

Après 10 000 itérations avec 1 000 burn-in, les estimations postérieures sont stables et bien définies. Les moyennes estimées $\lambda_1 = 536.70$ et $\lambda_2 = 548.96$ confirment la distinction entre deux sous-populations. La proportion estimée $P_1 = 0.6018$ indique qu'environ 60 % des observations relèvent du premier groupe, contre $P_2 = 0.3982$ pour le second. L'écart-type commun $\sigma = 3.733$ suggère une dispersion modérée. Ces résultats, cohérents avec la littérature, montrent une bonne convergence du MCMC et des estimations robustes.

L'inspection visuelle des chaînes simulées confirme cette stabilité : toutes les chaînes présentent une bonne mélangeabilité et une stationnarité apparente après le burn-in, sans dérive ni piégeage local. Les paramètres λ_1 , θ et P_1 oscillent de manière régulière autour de leur moyenne postérieure.

Les erreurs de Monte Carlo étant très inférieures à l'écart-type (ex. : MC_error = 0.0095 vs. SD = 0.9058 pour λ_1), la précision des estimations est élevée et l'échantillon postérieur suffisant. La combinaison des diagnostics graphiques et numériques renforce la fiabilité de l'inférence bayésienne.

Enfin, la re-paramétrisation de Robert (1994), $\lambda_2 = \lambda_1 + \theta$ avec $\theta > 0$, permet d'éviter le switching de labels. Nos résultats valident cette approche : les chaînes de λ_1 et λ_2 sont bien séparées et aucune attribution excessive des observations à un seul groupe n'a été observée. Cela améliore clairement l'identifiabilité du modèle et la stabilité du MCMC.

Annexe

A1 DAG

Voici la DAG correspondant :

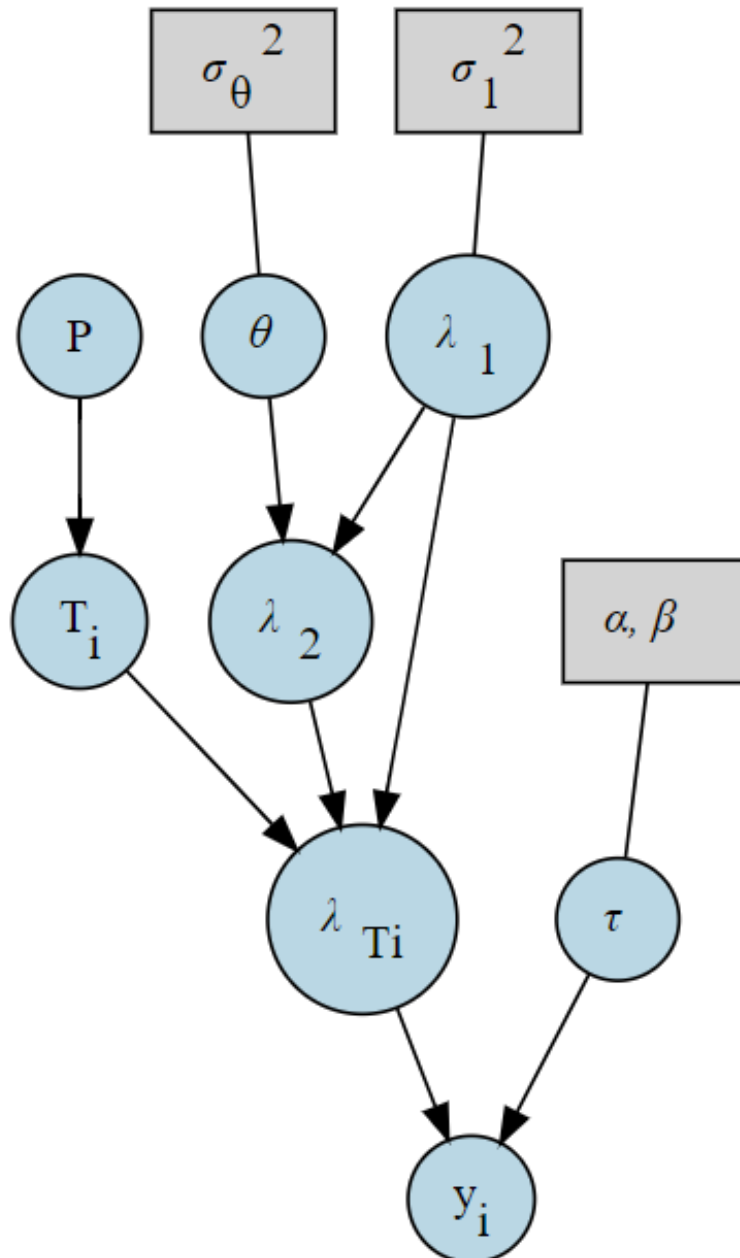


FIGURE 1 – DAG correspondante

A2 Résultat

Parameter	Mean	SD	MC_error	2.5%	Median	97.5%	Start	Sample
P[1]	0.6018	0.0826	0.000870	0.4392	0.6036	0.7586	1001	10000
P[2]	0.3982	0.0826	0.000870	0.2414	0.3964	0.5608	1001	10000
lambda[1]	536.7021	0.9058	0.009548	534.8288	536.6955	538.4622	1001	10000
lambda[2]	548.9633	1.1541	0.012165	546.6067	548.9466	551.3026	1001	10000
sigma	3.7330	0.5412	0.005704	2.9152	3.6545	5.0253	1001	10000

FIGURE 2 – Estimations postérieures après 10 000 itérations

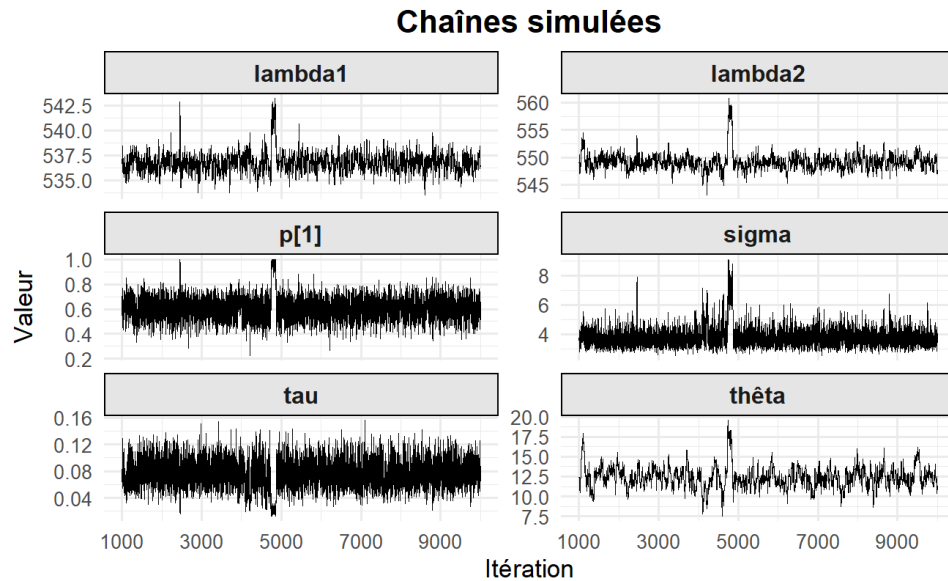


FIGURE 3 – Chaînes simulées

A3 code

```

1  ``{r}
2  N <- 48
3  y <- c(529, 530, 532, 533.1, 533.4, 533.6, 533.7, 534.1, 534.8, 535.3,
4        535.4, 535.9, 536.1, 536.3, 536.4, 536.6, 537, 537.4, 537.5, 538.3,
5        538.5, 538.6, 539.4, 539.6, 540.4, 540.8, 542, 542.8, 543, 543.5,
6        543.8, 543.9, 545.3, 546.2, 548.8, 548.7, 548.9, 549, 549.4, 549.9,
7        550.6, 551.2, 551.4, 551.5, 551.6, 552.8, 552.9, 553.2)
8
9  alpha <- c(1,1)    # Dirichlet(1,1)
10
11 ##MCMC
12 n_iter <- 10000
13 burn_in <- 1000
14 thin <- 1
15 set.seed(123)
16

```

```

17 ## initiation
18 lambda1 <- 535
19 theta   <- 5
20 tau     <- 1/10 # sigmasq = 10 donc tau = 0.1
21 p       <- c(0.5, 0.5)
22
23 T_ <- sample(1:2, N, replace=TRUE)
24
25 ##MCMC sampling
26 samples_lambda1 <- numeric(n_iter)
27 samples_theta   <- numeric(n_iter)
28 samples_tau     <- numeric(n_iter)
29 samples_p1      <- numeric(n_iter)
30
31
32 ```
33
34 ```{r}
35 sigma_lambda <- 0.5
36 sigma_theta  <- 0.2
37
38 accept_count <- 0
39 adjust_interval <- 100
40
41 for(iter in 1:n_iter) {
42
43   ## update T[i]
44   lam2 <- lambda1 + theta
45   for(i in 1:N) {
46     prob1 <- p[1] * dnorm(y[i], lambda1, sqrt(1/tau))
47     prob2 <- p[2] * dnorm(y[i], lam2, sqrt(1/tau))
48     T_[i] <- sample(1:2, 1, prob=c(prob1, prob2))
49   }
50
51   ## update P
52   n1 <- sum(T_ == 1)
53   p1_new <- rbeta(1, 1 + n1, 1 + (N - n1))
54   p <- c(p1_new, 1 - p1_new)
55
56   ## update Metropolis (lambda1, theta)
57   lam1_prop <- lambda1 + rnorm(1, mean=0, sd=sigma_lambda)
58   theta_prop <- abs(theta + rnorm(1, mean=0, sd=sigma_theta))
59
60   log_accept_ratio <- sum(dnorm(y[T_==1], mean=lam1_prop, sd=sqrt(1/tau),
61     log=TRUE)) +
62     sum(dnorm(y[T_==2], mean=lam1_prop + theta_prop, sd=sqrt(1/tau), log=

```

```

TRUE)) -
62   sum(dnorm(y[T_==1], mean=lambda1, sd=sqrt(1/tau), log=TRUE)) -
63   sum(dnorm(y[T_==2], mean=lambda1 + theta, sd=sqrt(1/tau), log=TRUE))
64
65   if(log(runif(1)) < log_accept_ratio) {
66     lambda1 <- lam1_prop
67     theta <- theta_prop
68     accept_count <- accept_count + 1
69   }
70
71   ## update tau
72   ssq <- sum((y[T_==1] - lambda1)^2) + sum((y[T_==2] - (lambda1 + theta))
73     ^2)
74   tau <- rgamma(1, shape=0.001 + N/2, rate=0.001 + 0.5 * ssq)
75
76   ## save the samples
77   samples_lambda1[iter] <- lambda1
78   samples_theta[iter] <- theta
79   samples_tau[iter] <- tau
80   samples_p1[iter] <- p[1]
81
82   if(iter %% adjust_interval == 0) {
83     accept_rate <- accept_count / adjust_interval # calculate accept rate
84     if(accept_rate < 0.2) {
85       sigma_lambda <- sigma_lambda * 0.9
86       sigma_theta <- sigma_theta * 0.9
87     } else if(accept_rate > 0.5) {
88       sigma_lambda <- sigma_lambda * 1.1
89       sigma_theta <- sigma_theta * 1.1
90     }
91     accept_count <- 0
92   }
93 }
94
95 ## analyse the result
96 burned_samples <- (burn_in+1):n_iter
97 cat("Posterior_Mean_Estimates:\n")
98 cat("lambda1_=", mean(samples_lambda1[burned_samples]), "\n")
99 cat("theta_=", mean(samples_theta[burned_samples]), "\n")
100 cat("tau_=", mean(samples_tau[burned_samples]), "\n")
101 cat("p1_=", mean(samples_p1[burned_samples]), "\n")
102
103 ```{r}
104
105 posterior_summary <- function(samples, name) {

```

```

106 mean_val <- mean(samples)
107 sd_val <- sd(samples)
108 mc_error <- sd_val / sqrt(length(samples))
109 quantiles <- quantile(samples, probs = c(0.025, 0.5, 0.975))
110
111 cat(sprintf("%-10s_8.4f_8.4f_10.6f_8.4f_8.4f_8.4f_6d_6d\n",
112             name, mean_val, sd_val, mc_error,
113             quantiles[1], quantiles[2], quantiles[3], burn_in+1, n_iter))
114 }
115
116 cat(sprintf("%-10s_8s_8s_10s_8s_8s_8s_6s_6s\n",
117             "Parameter", "Mean", "SD", "MC_error", "2.5%", "Median", "97.5%",
118             "Start", "Sample"))
119
120 cat(rep("-", 70), "\n")
121
122 posterior_summary(samples_p1[burned_samples], "P[1]")
123 posterior_summary(1 - samples_p1[burned_samples], "P[2]")
124 posterior_summary(samples_lambda1[burned_samples], "lambda[1]")
125 posterior_summary((samples_lambda1 + samples_theta)[burned_samples], "
126                   lambda[2]")
127 posterior_summary((1 / sqrt(samples_tau))[burned_samples], "sigma") #
128                   sigma = 1/sqrt(tau)
129
130 ```
131 ```{r}
132 library(ggplot2)
133 library(tidyr)
134 library(dplyr)
135
136 df_trace <- data.frame(
137   Itération = burned_samples,
138   lambda1 = samples_lambda1[burned_samples],
139   theta = samples_theta[burned_samples],
140   tau = samples_tau[burned_samples],
141   p1 = samples_p1[burned_samples],
142   lambda2 = samples_lambda1[burned_samples] + samples_theta[burned_samples]
143   ],
144   sigma = 1 / sqrt(samples_tau[burned_samples])
145 )
146
147 df_long <- df_trace %>%
148   pivot_longer(-Itération, names_to = "Paramètre", values_to = "Valeur")
149   %>%
150   mutate(Paramètre = recode(Paramètre,
151     lambda1 = "lambda1",
152     lambda2 = "lambda2",
153     p1 = "p[1]",

```



```

147     sigma = "sigma",
148     tau = "tau",
149     theta = "thêta"
150 ))
151
152 ggplot(df_long, aes(x = Itération, y = Valeur)) +
153   geom_line(size = 0.3) +
154   facet_wrap(~Paramètre, scales = "free_y", ncol = 2) +
155   theme_minimal(base_size = 13) +
156   labs(title = "Chaînes simulées",
157        y = "Valeur", x = "Itération") +
158   scale_x_continuous(breaks = seq(1000, 10000, by = 2000)) +
159   theme(
160     strip.background = element_rect(fill = "grey90"),
161     strip.text = element_text(face = "bold", size = 12),
162     axis.text.x = element_text(size = 10),
163     axis.text.y = element_text(size = 10),
164     plot.title = element_text(face = "bold", hjust = 0.5, size = 16)
165   )
166   ```

```